

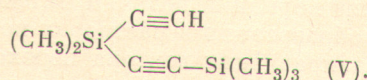
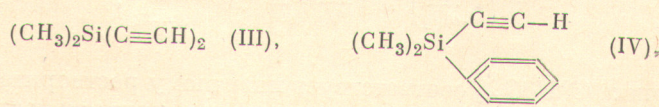
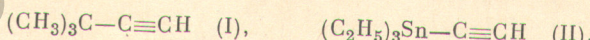
УДК 535.34-15+539.196.8

ИССЛЕДОВАНИЕ ИНТЕНСИВНОСТИ ПОЛОС ПОГЛОЩЕНИЯ  
В ИНФРАКРАСНЫХ СПЕКТРАХ ПРИ ОБРАЗОВАНИИ  
МЕЖМОЛЕКУЛЯРНОЙ ВОДОРОДНОЙ СВЯЗИ  
В РАСТВОРАХ НЕКОТОРЫХ ПРОИЗВОДНЫХ АЦЕТИЛЕНА

*E. A. Гастилович, К. В. Жукова, Д. Н. Шигорин,  
О. Г. Ярош и И. С. Акнурина*

Измерены абсолютные интенсивности полос поглощения групп  $\text{C}\equiv\text{C}$  и  $\equiv\text{CH}$  в олово-кремнийсодержащих и алкильном производных ацетиlena в растворах. На основании валентно-оптической схемы рассчитаны величины интенсивности полос  $\nu_{\text{C}\equiv\text{C}}$  в электронодонорных растворителях. Экспериментальные и расчетные значения находятся в удовлетворительном согласии. На основании полученных данных сделано заключение об изменении внутримолекулярных взаимодействий в ряду исследованных молекул. Спектроскопически оценена энергия межмолекулярной водородной связи.

При образовании в растворе межмолекулярной водородной связи типа  $\text{R}-\text{A}-\text{H} \cdots \text{B}-\text{R}'$  изменяется интенсивность полос поглощения в инфракрасных спектрах (ИК) не только группы  $-\text{A}-\text{H}$ , но и других групп, формы колебаний которых в молекулярном комплексе включают колебания группы  $\text{H} \cdots \text{B}$ . Изменение интенсивности соответствующих полос поглощения может быть рассчитано по валентно-оптической схеме, аддитивно, из электрооптических параметров, характеризующих группу  $\text{H} \cdots \text{B}$ , а также молекулу  $\text{R}-\text{A}-\text{H}$  в инертном растворителе [<sup>1, 2</sup>]. Однако в молекуле  $\text{R}-\text{A}-\text{H}$  с делокализованными электронами аддитивность молекулярных параметров в таком комплексе должна нарушаться и расчетные и экспериментальные величины интенсивности полос поглощения не совпадать. Последнее предположение было подтверждено при исследовании ИК спектров растворов фенилацетиlena и триметилсилилацетиlena в электронодонорных растворителях [<sup>2</sup>]. В настоящей работе в спектрах разбавленных растворов в дейтеропиридине, триэтиламине,  $\text{CCl}_4$  и бензole теоретически и экспериментально изучено изменение интенсивности полос поглощения групп  $\equiv\text{CH}$  ( $\nu_1$ ) и  $\text{C}\equiv\text{C}$  ( $\nu_2$ ) следующих производных ацетиlena:



Предполагалось выяснить, является ли изменение абсолютной интенсивности полосы поглощения  $\nu_2$  в разных растворителях следствием аддитивного влияния параметров собственно водородной связи  $\text{H} \cdots \text{B}$ . Величина рассчитанного электрооптического параметра этой связи  $x = \frac{\partial u_{\text{H} \cdots \text{B}}}{\partial q_{\text{H} \cdots \text{B}}}$

( $\mu$  — дипольный момент,  $q$  — естественная координата) может быть использована также в суждении о степени влияния варьируемых в молекулах заместителей на протонодонорную способность ацетиленовой группы.

ИК спектры получались на приборах UR-10 и Н-800 с призмой LiF; величины интенсивности рассчитывались из спектра по логарифму средней прозрачности на конечном интервале частот [3]. Абсолютные интенсивности полос, соответствующих ассоциированным в комплекс  $R-C\equiv C-H \cdots B-R'$  молекулам —  $\nu_1^k$  и  $\nu_2^k$ , определялись с учетом степени ассоциации.

В табл. 1 приведены абсолютные интенсивности полос поглощения  $\nu_1$  и  $\nu_2$  в различных растворителях.

Концентрация «свободных» молекул в растворах в триэтиламине рассчитывалась по наблюдаемой величине интенсивности соответствующей полосы  $\nu_1^0$  и известной величине абсолютной интенсивности полосы  $\nu_1$  в растворе в  $CCl_4$ . В растворах в пиридине, помимо водородной связи указанного типа, возможно также образование  $\pi$ -комплексов с участием  $\pi$ -электронов пиридинового кольца. Соответствующая полоса  $\nu_1^\pi$  в спектре мало смещена относительно полосы поглощения свободных молекул  $\nu_1^0$ , так что эти полосы не разрешаются. Поэтому в этом растворителе определялась суммарная концентрация свободных и образующих  $\pi$ -комплекс молекул. Для этого нами измерялась абсолютная интенсивность суммарной полосы  $\nu_1^0$  и  $\nu_1^\pi$  ( $\nu_2^0$  и  $\nu_2^\pi$ ) в растворах в бензоле, где, по-видимому, образуются только  $\pi$ -комплексы. Однако очевидно, что степень ассоциации в  $\pi$ -комплекс в бензоле и пиридине различна, что видно, например, из сравнения ширин этих полос в растворах в пиридине, бензоле и  $CCl_4$  (табл. 1). Это различие учитывалось тем, что суммарная концентрация свободных и образующих  $\pi$ -комплекс молекул рассчитывалась по наблюдаемой интенсивности соответствующей полосы в спектре раствора в пиридине и значению абсолютной интенсивности ее, принятому равным среднему между величиной абсолютной интенсивности полосы в растворе в  $CCl_4$  и бензоле. В растворах в триэтиламине в области колебаний группы  $C\equiv C$  в соединениях II—V наблюдалась две полосы, соответствующие свободным ( $\nu_2$ ) и ассоциированным ( $\nu_2^k$ ) молекулам. В этом случае проводилось выделение отдельных полос из спектра на электронно-вычислительной машине [4] для различных смешанных вариантов лорентцовой и гауссовой форм полос. Рассчитанные величины концентраций свободных молекул по спектрам в области колебаний групп  $\equiv CH$  и  $\equiv C$  с точностью до 5–15% совпадают.

Теоретические значения интенсивности полос  $\nu_1^k$  и  $\nu_2^k$  для ацетиленовых производных в аддитивном приближении вычислялись по формулам [2]

$$\left(\frac{\partial M}{\partial Q_1}\right)^k = \left(\frac{\partial M}{\partial Q_1}\right)_0 - 0.90 \frac{\partial \mu_{H-B}}{\partial q_{H-B}},$$

$$\left(\frac{\partial M}{\partial Q_2}\right)^k = \left(\frac{\partial M}{\partial Q_2}\right)_0 - 0.24 \frac{\partial \mu_{H-B}}{\partial q_{H-B}},$$

где величина  $(\partial M / \partial Q_i)_0$  соответствует инертному растворителю, здесь  $CCl_4$ .

Отметим, что изучение вариации величин интенсивности полос поглощения групп  $C\equiv C$  при образовании в растворах водородной связи позволяет решить вопрос о направлении вектора перехода дипольного поглощения  $\partial M / \partial Q_2$  в нормальном колебании  $Q$  относительно направления вектора  $\partial M / \partial Q_1$ . Как следует из анализа колебаний, должно наблюдаться увеличение интенсивности полосы поглощения  $\nu_2$  в электронодонорных растворителях по сравнению с инертным, когда вышеизложенные векторы направлены в одну сторону, и уменьшение интенсивности, когда они направлены противоположно. Этот вывод подтверждается сопоставлением экспериментально обнаруженного различного знака изменения интенсив-

Таблица 1

Абсолютная интенсивность  $A \cdot 10^{-4}$  см $^{-2}$  моль $^{-1}$  л,<sup>\*</sup> частота  $\nu$  см $^{-1}$ ,  
ширина полосы  $\gamma^D$  см $^{-1}$ <sup>\*\*</sup> в спектрах производных ацетилена в растворах

Растворитель	Параметр	Соединения				
		I	II	III	IV	V
$CCl_4$	$\nu$	3312 3293 — 3310	3270 3290 — —	— 3293.5 — —	— 3288 — —	— 3290 — —
	$\gamma$	11	8	9	8	8.5
	$A_1$	0.75	0.38	1.07	0.61	0.58
	Интервал, см $^{-1}$	$\infty$	79	$\infty$	$\infty$	$\infty$
	$\nu_1^e$	3291	3265	3268	3263	3267
	$\nu_1^o$	3305	3281	3282	3276	3280
Бензол	$\gamma$	29.5	27.0	34	33	33
	$A$	0.75	0.53	1.16	0.69	0.68
	Интервал, см $^{-1}$	79	80	109	103	120
	$\nu_1^{(0+\pi)}$	3303	3275	3280.5	3279	3277
	$\nu_1^{(0+\pi)}$	23	21	25	24	24
	$\nu_1^e$	3228	3202	3186	3190	3182.5
$d_s$ Пиридин	$\gamma_e$	105	113	124	120	124
	$A_e$	$1.3 \pm 0.25$	1.46	4.0	2.0	$2.3 \pm 0.3$
	Интервал, см $^{-1}$	270	310	310	250	290
	$\nu_1^o$	3296 3316 —	3268 3288 3295	— 3293	— 3296	— —
	$\gamma^o$	11	8.6	8.4	6.8	7.7
	$\nu_1^e$	3204	3182	3156	3158	3152
Триэтил- амин	$\gamma_1^e$	200	146	208	138	167
	$A_1^e$	$1.5 \pm 0.3$	1.34	2.8	$1.80 \pm 0.40$	1.9
	Интервал, см $^{-1}$	340	429	480	250	290
	$\nu_2$	2105 2137	— 2008	— 2041	— 2037	— 2043
	$\gamma$	12 и 14	5.3	6.3	6.4	5.8
	$A_2^\infty$	0.075	0.11	0.87	0.40	0.43
$CCl_4^{***}$	$\nu_2$	2104 2137	— 2004	— 2039	— 2035	— 2040
	$\gamma$	12.6 и 16	6.7	6	6.8	5.3
	$A_2^e$	0.059	0.093	0.82	0.43	0.45
	Интервал, см $^{-1}$	$\infty$	27	$\infty$	$\infty$	$\infty$
	$\nu_2$	2103 2135	— 1998	— 2032	— 2028	— 2035
	$\gamma$	16 и 15	11.5	11.2	11.5	11.8
$d_5$ Пиридин	$A_2^e$	$0.026 \pm 0.04$	0.16	$1.27 \pm 0.35$	0.63	0.61
	Интервал, см $^{-1}$	$\infty$	53.4	53.4	75	46
	$\nu_2^o$	2107.5 2139.5	— 2006	— 2041	— 2038	— 2042
	$\gamma_2^o$	13 и 14	7.3	6	5.8	5.7
	$\nu_2^e$	2107 2139	— 2000	— 2031	— 2028	— 2032
	$\gamma_2^e$	13 и 14	7.3	9.4	8.1	8.6
Триэтил- амин	$A_2^e$	$0.025 \pm 0.04$	$0.16 \pm 0.03$	$1.13 \pm 0.20$	0.69	$0.63 \pm 0.09$
	Интервал, см $^{-1}$	$\infty$	40.5	$\infty$	27	27

\* Указана точность только хуже, чем 10%.

\*\*  $\gamma^D$  дано с поправкой на ширину щели.

\*\*\* Соединение II исследовалось в растворе в гексане.

ности полосы  $\nu_2$  в алкилзамещенных [5] и исследованных нами кремний-органических производных ацетилена в электронодонорных растворителях и обнаруженного из независимых измерений различного знака направления вектора перехода дипольного поглощения в этих соединениях [6, 7].

Таблица 2

Электрооптический параметр  $x = \frac{\partial \mu_{\text{H--B}}}{\partial q_{\text{H--B}}} \text{ в } \frac{D}{\text{\AA}}$ , расчетное и опытное значение абсолютной интенсивности  $A_2^k \cdot 10^4 \text{ см}^{-2} \text{ моль}^{-1} \text{ л}$

Растворитель	Параметр	Соединения				
		I	II	III	IV	V
Пиридин $d_5$	$\left. \begin{array}{l} \\ x \end{array} \right\}$	$0.70 \pm 0.28$	$1.20 \pm 0.18$	$1.45 \pm 0.20$	$1.45 \pm 0.20$	$1.65 \pm 0.30$
Триэтиламин		$1.00 \pm 0.28$	$1.05 \pm 0.14$	$1.05 \pm 0.15$	$1.25 \pm 0.30$	$1.45 \pm 0.20$
Пиридин $\left. \begin{array}{l} \\ d_5 \end{array} \right\}$	$A_2^k$ расч.	$0.022 \pm 0.016$	$0.23 \pm 0.06$	$1.36 \pm 0.28$	$0.64 \pm 0.09$	$0.70 \pm 0.12$
	$A_2^k$ опытн.	$0.022 \pm 0.003$	$0.16 \pm 0.02$	$1.25 \pm 0.35$	$0.59 \pm 0.06$	$0.61 \pm 0.06$
Триэтиламин	$A_2^k$ расч.	$0.010 \pm 0.010$	$0.20 \pm 0.03$	$1.10 \pm 0.12$	$0.57 \pm 0.12$	$0.66 \pm 0.09$
	$A_2^k$ опытн.	$0.020 \pm 0.003$	$0.145 \pm 0.02$	$0.90 \pm 0.20$	$0.68 \pm 0.07$	$0.63 \pm 0.09$

В табл. 2 приведены величины  $x$  и опытные и расчетные величины абсолютной интенсивности полосы  $\nu_2^k$ , все пересчитанные для одного интервала частот, выраженного в величинах  $N = \Delta / \gamma_{\text{ист.}}^D$ . (для растворов в пиридине  $N = 3.9$ , в триэтиламине  $N = 3.15$ ). Опытные и расчетные по аддитивной схеме значения интенсивности находятся в удовлетворительном согласии для всех исследуемых соединений.

В исследованную группу соединений входят молекулы, в которых электроны тройной связи не делокализованы — соединение I; по-видимому, слабо делокализованы [8] — соединения II; и соединения с группой  $\text{Si}-\text{C}\equiv\text{C}-\text{H}$ , где делокализация электронной плотности может изменяться благодаря введению в молекулу второй ацетиленовой группы или фенильного кольца (соединения III—V). Это изменение действительно проявляется, например, в значительном и одинаковом увеличении интенсивности полосы поглощения  $\nu_2$  последних соединений, в инертном растворителе по сравнению с величиной интенсивности  $\nu_2$  у  $(\text{CH}_3)_3\text{Si}-\text{C}\equiv\text{CH}$  (VI) [2]. Этот факт свидетельствует, по-видимому, также об эквивалентности влияний второй ацетиленовой группы и фенильного кольца.

Совпадение расчетных и экспериментальных величин интенсивности полосы  $\nu_2^k$  для всех исследованных в этой работе соединений (в отличие от результатов работы [2]) позволяет заключить, что в соединениях типа III—V по сравнению с VI происходит уменьшение внутримолекулярного  $\pi-d$ -взаимодействия в группе  $\text{Si}-\text{C}\equiv\text{C}-\text{H}$ .

Изменение внутримолекулярного взаимодействия в исследованных молекулах с различными заместителями проявляется в изменении параметра  $x$ , характеризующего собственно водородную связь. В соединениях III—V величина ошибки в определении  $x$  не позволяет дифференцировать влияние варьируемых групп заместителей. Однако для всех других соединений, включая VI со своим параметром  $x$ , пересчитанным из [2] к условиям данной работы, отличия  $x$  (в растворе в пиридине) превосходят ошибки расчета и показывают, что внутримолекулярное взаимодействие монотонно изменяется от соединения к соединению в порядке VI, V—III, II и I (для VI  $x = 2.1 \pm 0.37$ ). По-видимому, в таком порядке уменьшается величина сопряжения (делокализация  $\pi$ -электронов тройной связи) в молекулах, так как индуктивное влияние атомов Si и Sn, если о нем судить по величине электроотрицательности атомов [9], отличается мало.

В работе [10] было показано наличие линейной зависимости между величиной энергии водородной связи  $\Delta H$  и величиной  $\Delta\Gamma^{1/2} = \left(\frac{A_{\kappa}}{\nu_{\kappa}}\right)^{1/2} - \left(\frac{A_0}{\nu_0}\right)^{1/2}$ , т. е. для соединений одного класса между  $\Delta H$  и  $x$  (изменением множителя  $\nu_{\kappa}^{1/2}$  и отличием  $\nu_0^{-1/2}$  от  $\nu_{\kappa}^{-1/2}$  можно пренебречь). Таким образом, экспериментальные данные настоящей работы позволяют оценить из спектроскопических величин энергию водородной связи для исследуемых соединений. Для раствора в пиридине ряда I, II, III—IV, V, VI  $\Delta H$  равна соответственно  $1.2 \pm 0.5$ ,  $2.0 \pm 0.3$ ,  $2.50 \pm 0.35$ ,  $2.75 \pm 0.45$ ,  $3.6 \pm 0.6$  ккал./моль. Интенсивности полос поглощения определялись на конечном интервале, поэтому приведенные значения энергии, возможно, занижены, но не более чем на 10%.

### Литература

- [1] А. В. Иогансен. ДАН СССР, 184, 1350, 1969.
- [2] Е. А. Гастилович, Д. Н. Шигорин, Н. В. Жукова, О. Г. Ярош. Опт. и спектр., 23, 564, 1967.
- [3] А. В. Иогансен. Опт. и спектр., 16, 813, 1964.
- [4] Е. А. Гастилович. Ж. прикл. спектр., 10, 878, 1969.
- [5] Ph. V. Huong. Rev. Inst. Francais du Petrole et des ann. comb. liquides, 18, 1, 1963.
- [6] Е. А. Гастилович, Д. Н. Шигорин, Н. В. Жукова, И. С. Акчурин. ЖФХ, 43, 5, 1969.
- [7] Е. А. Гастилович, Д. Н. Шигорин, Н. В. Комаров. Опт. и спектр., 19, 354, 1965.
- [8] Е. А. Гастилович, Д. Н. Шигорин, Н. В. Комаров. Опт. и спектр., 16, 46, 1964.
- [9] Л. Павлинг. Природа химической связи. Госхимиздат. М., 1947.
- [10] А. В. Иогансен. ДАН СССР, 164, 610, 1964.

Поступило в Редакцию 5 ноября 1969 г.